

A Time-dependent SIR model for COVID-19

Yi-Cheng Chen, Ping-En Lu, and Cheng-Shang Chang
Institute of Communications Engineering
National Tsing Hua University
Hsinchu 30013, Taiwan, R.O.C.

Email: yichengchen@gapp.nthu.edu.tw; j94223@gmail.com; cschang@ee.nthu.edu.tw

Abstract—In this paper, we propose a mathematical model for analyzing and predicting the number of confirmed cases of COVID-19. Our model is a time-dependent susceptible-infected-recovered (SIR) model that tracks two time series: (i) the transmission rate at time t and (ii) the recovering rate at time t . Our time-dependent SIR method is better than the traditional static SIR model as it can adapt to the change of contagious disease control policies such as city lockdowns. Moreover, it is also more robust than the direct estimation of the number of confirmed cases, as a sudden change of the definition of the number of confirmed cases might result in a spike of the number of new cases. Using the data set provided by the National Health Commission of the People's Republic of China (NHC) [2], we show that the one-day prediction errors for the numbers of confirmed cases are less than 3% except the day when the definition of the number of confirmed cases is changed. Also, the turning point, defined as the day that the transmission rate is less than the recovering rate, is predicted to be Feb. 17, 2020. After that day, the basic reproduction number, known as the $R_0(t)$ value, is less than 1 if the current contagious disease control policies are maintained in China. In that case, the total number of confirmed cases is predicted to be less than 80,000 cases in China under our deterministic model.

Index Terms—COVID-19, SARS-CoV-2, 2019-nCoV, time-dependent SIR model

I. Introduction

2019 年 12 月初，位於中國湖北省武漢市發現了首例被新型冠狀病毒感染的患者，隨後的幾周，此疫情大規模在中國境內爆發，也陸續在其他國家大肆傳染，造成世界的恐慌。此新型冠狀病毒造成的肺炎於近日被世界衛生組織 (WHO) 正式命名為 Coronavirus disease 2019 (COVID-19) [1]。據中國官方統計截至 2020 年 2 月 20 日 24 時中國境內已有累計 75,465 人曾被感染，累計 2,236 人死亡 [2]。為此，中國中央政府與地方政府都採取了積極的防疫措施，包含封城、小區管理、限制交通，以及宣導基本的衛教知識，以遏止 COVID-19 的傳播。

我們秉著對疫情發展的好奇，以及希望能為控制疫情做出一點貢獻的心，著手研究中國境內 COVID-19 傳染的狀況，並預測未來 COVID-19 的發展。因此我們於這篇研究提出了一個數學的模型來分析與預測中國境內 COVID-19 的感染人數、復原人數 (含死亡人數)。我們提出了 time-dependent susceptible-infected-recovered (SIR) model，並結合機器學習來追蹤與預測未來時間 t (每日) 時的 transmission rate $\beta(t)$ 與 recovering rate $\gamma(t)$ ，從每日預測出的 transmission rate 與 recovering rate 來推算每日預測的感染人數、復原人數 (含死亡人數)。我們的模型有別過去幾篇以基於 SIR、SEIR 的衍伸模型預測

COVID-19 趨勢論文 [3], [4], [5], [6], and [7] 固定某些關鍵參數如 transmission rate 與 recovering rate，我們的 transmission rate 與 recovering rate 會基於過往的資料進行每日的動態調整，來因應中國政府因為防疫措施而造成的參數驟變，如封城造成的 transmission rate 驟降。除了基於各式傳染病模型的論文，也有許多預測 COVID-19 趨勢論文採用 data-driven 或是 curve fitting 方法 [8], [9], and [10]，此種類型的文章看似能夠完美追蹤現有的資料，但事實上這種類型的文章不但缺乏對傳染病的解釋與理解，並且對於如 2/12 確診定義突然改變會有敏感影響。我們的 time-dependent SIR model 不只能檢視中國的防疫措施，並合理的解釋它，更能在錯誤率最高僅有 3% 內準確的預測隔天的疫情發展，同時不受 2/12 確診定義突然改變影響。

我們的 time-dependent SIR model 與傳統的 SIR 模型一樣有著三個狀態，分別是 susceptible、infected 和 recovered。我們將一個尚未得病，但若接觸感染者便有可能得病的狀態稱作 susceptible；infected 態是指一個患有疾病，且具傳染能力的個體，若與 susceptible 態的個體接觸，有一定的可能將其傳染的狀態；recovered 態則是從 infected 態康復或死亡的個體，且不再具傳染性，同時也不會再回到 susceptible 態反覆感染。 $S(t)$, $X(t)$ and $R(t)$ 分別為 susceptible、infected、recovered 於時間 t 時的人數，這個模型還有著關鍵的兩個變數，於 t 時間時的 transmission rate $\beta(t)$ 與於 t 時間時的 recovering rate $\gamma(t)$ ，這兩個變數會隨著 t 做變化，是本篇與傳統 SIR 模型最不同的地方。假設 $S(t)$ 趨近於總人口數 n ，我們的任務是在給定一段時間的歷史資料 $\{X(t), R(t), t = 0, 1, \dots, T-1\}$ 的情況下，計算對應的 $\{\beta(t), \gamma(t), t = 0, 1, \dots, T-2\}$ ，接著利用子節 II-D 的 ridge regression 預測未來的 transmission rate $\hat{\beta}(t)$ 與 recovering rate $\hat{\gamma}(t), t = T-1, T, T+1, \dots$ ，最後將 $\hat{\beta}(t), \hat{\gamma}(t)$ 回推計算得到未來的感染人數與復原人數 $\{\hat{X}(t), \hat{R}(t), t = T, T+1, \dots\}$ 。反覆如此，我們便可以用 Time-dependent SIR model 模擬 COVID-19 未來的發展趨勢。

在此傳染病預測模型中，我們關心的是疾病是否可以控制，並且最終結束疫情，抑或是將會大流行，並感染一定比例的總人數 n 。其中 Basic reproduction number R_0 是能夠代表一個傳染病是否會造成大流行的指標，在 time-dependent SIR model 下 $R_0(t)$ 的定義為 $\beta(t)/\gamma(t)$ ，其意義為在一個個體康復之前被該個體額外感染的人數。若 $R_0(t) > 1$ 傳染病會以指數方式傳染，造成大流行，並將會感染一定比例的總人數 n ；相反的若 $R_0(t) < 1$ ，則表示該疾病將會受到控制並且以指數消失。透過觀察 $R_0(t)$ 隨時間的變化能夠檢視防疫措施是否達到控制疫情的效

果。因此持續追蹤且預測 Time-dependent SIR model 將會是一個迫切的議題，尤其以觀察以下三點最為重要：

- 第幾天開始 Basic reproduction number $R_0(t)$ 會小於 1 ($\beta(t) < \gamma(t)$)，即 COVID-19 已開始受到控制？
- 若假設目前所有的資料都是正確的清況下，當 Time-dependent SIR model 進到 steady state 時曾經被感染過的人 (包含 infected 與 recovered) 佔總人口數的比例 (size of giant component) 為何？
- 政府對於防疫的措施或行為是否能在我們的模型上出現相對應的變化？

以上議題我們將於章節III——透過 Time-dependent SIR model 提出詳細的預測結果與分析。

我們採用了截至 2020 年 2 月 20 日前的歷史病例來作為我們研究的數據集，上段的三個迫切議題即是基於 2/20 之前所有的歷史病例作的預測與分析。如在中國官方不改變現有的防疫政策下，藉由我們提出的 deterministic time-dependent SIR 模型，我們提前 3 天 (2/14) 準確預測 Basic reproduction number $\hat{R}_0(t)$ 會於 2/17 小於 1，即為疫情的拐點，並且持續的下降；而 COVID-19 疫情在 deterministic 的假設下將有極高的機率在 6 周左右結束，最終感染人數約為 8 萬人。同時我們預測了 1/30 之後每個隔天的預估感染人數 $\hat{X}(t)$ 與復原人數 $\hat{R}(t)$ ，其錯誤率皆在 3% 以內，不受 2/12 之後中國官方改變確診定義的影響展現出高穩定性以及高準確度。從我們的模型能觀察出對應的中國政府防疫措施，以及武漢封城前後造成的影響。

這篇論文的架構如下，第I節為整篇論文的概要介紹，第II節為我們所提出的 System Model，第III節詳細了提供實驗的做法、COVID-19 未來的預測走勢及其分析，最後第IV節總結了整篇論文並再次強調我們的貢獻。

II. The System Model

A. Susceptible-infected-recovered (SIR) Model

在流行病的典型數學表示中，我們會將疾病的動態改變簡化為幾種基本的疾病狀態。其中一個簡單的版本便是將疾病的狀態分成三個狀態的 Susceptible-infected-recovered (SIR) model [11]，三個狀態分別是 susceptible、infected 和 recovered。我們將一個在 t 時間尚未得病，但若接觸感染者便有可能得病的狀態稱作 susceptible；infected 態是指在 t 時間一個患有疾病，且具傳染能力的個體，若與 susceptible 態的個體接觸，有一定的可能將其傳染的狀態；recovered 態則是在 t 時間從 infected 態康復的個體，且不再具傳染性，同時也不會再回到 susceptible 態反覆感染，至於死亡的個體，在 SIR 模型中也是屬於 recovered 態，原因是從流行病學的角度來看，這基本上是同一件事，無論一個人的免疫或死亡對疾病的傳播沒有太大的影響，他們都可以有效地從疾病的潛在宿主中剔除 [12]。 $S(t)$, $X(t)$ and $R(t)$ 分別為 susceptible、infected、recovered 於時間 t 時的人數。綜觀上述的傳染病 SIR 模型，我們認為與這次的 COVID-19 的疫情十分相似，因此我們會採用 SIR 模型當作我們的基礎假設。

傳統的 SIR 模型有兩個非時變的重要參數，分別為傳播率 (transmission rate) β 與復原率 (recovering rate) γ 。傳播率 β 意指假設 susceptible 態與 infected 態之間的接觸並且得病，是以平均每人 β 的速率發生；而復原率 γ

則是 infected 態的個體以固定的平均速率 γ 恢復或死亡。這種傳統的 SIR 模型忽略了 β 與 γ 之於時間的變化，讓整個假設過於簡單，而無法有效地追蹤且預測未來疾病的變化，因此我們提出了 time-dependent 的 SIR 模型，將 β 與 γ 設為時間 t 的函數，有效的追蹤疫情的發展、控制與預測疾病未來的趨勢。

B. Differential Equations for the Time-dependent SIR Model

透過 M. Newman 書上 [11] 所提供的 SIR 模型的微分方程與其必要條件：

$$\begin{aligned}\frac{dS(t)}{dt} &= \frac{-\beta S(t)X(t)}{n}, \\ \frac{dX(t)}{dt} &= \frac{\beta S(t)X(t)}{n} - \gamma X(t), \\ \frac{dR(t)}{dt} &= \gamma X(t), \\ S(t) + X(t) + R(t) &= n,\end{aligned}\quad (1)$$

其中 n 代表總人口數。假設 $\beta(t)$ 與 $\gamma(t)$ 分別為時間 t 時的 transmission rate 與 recovering rate。我們可以輕易的將上述方程組的 β 與 γ 改為 $\beta(t)$ 與 $\gamma(t)$ ，當作 Time-dependent SIR Model 的微分方程組，寫成如下的式子：

$$\frac{dS(t)}{dt} = \frac{-\beta(t)S(t)X(t)}{n}, \quad (2)$$

$$\frac{dX(t)}{dt} = \frac{\beta(t)S(t)X(t)}{n} - \gamma(t)X(t), \quad (3)$$

$$\frac{dR(t)}{dt} = \gamma(t)X(t). \quad (4)$$

其中，上述微分方程組仍滿足 Eq. (1)。Eq. (2) 描述時間 t 時 susceptible 態人數 $S(t)$ 的變化量，如果總人口為 n 個人，則隨機遇到一個處於 susceptible 態的個體的平均機率為 S/n ，因此一個為 infected 態的個體於每單位時間平均接觸了 $\beta(t)S(t)/n$ 個 susceptible 態的人；由於總共有 $X(t)$ 個 infected 態的人，這意味著新感染的人數為 $\beta(t)S(t)X(t)/n$ ，反過來說，susceptible 態人數減少了 $\beta(t)S(t)X(t)/n$ 個人。另外，平均每個處於 infected 態的個體會以 $\gamma(t)$ 的速率復原，所以對 $X(t)$ 個 infected 態的人來說會有 $\gamma(t)X(t)$ 的人於 t 時間復原，因此 Eq. (4) 描述了時間 t 時 recovered 態人數 $R(t)$ 的變化量為。藉由上述 susceptible 態與 recovered 態的變化量可得 infected 態的變化量為 t 時間從 susceptible 態轉為 infected 態的人數扣掉從 infected 態復原至 recovered 態的人數，即 Eq. (3) 所示。

C. Discrete Time Time-dependent SIR Model

由於 COVID-19 的病例皆為以天為單位的離散時間的資料，因此我們將上述微分方程 Eq. (2), (3), and (4) 改寫為離散時間的差分方程組：

$$S(t+1) - S(t) = \frac{-\beta(t)S(t)X(t)}{n}, \quad (5)$$

$$X(t+1) - X(t) = \frac{\beta(t)S(t)X(t)}{n} - \gamma(t)X(t), \quad (6)$$

$$R(t+1) - R(t) = \gamma(t)X(t). \quad (7)$$

其中，上述微分方程組仍滿足 Eq. (1)。

由於傳染病開始流行的初期確診人數不多，所有人都有可能是在 Susceptible 態，故我們假設 $\{S(t) \approx n, t \geq 0\}$ ，便可以進一步化簡 Eq. (5), (6), and (7) 為：

$$S(t+1) - S(t) = -\beta(t)X(t), \quad (8)$$

$$X(t+1) - X(t) = \beta(t)X(t) - \gamma(t)X(t). \quad (9)$$

藉由上述差分方程組，我們可以很容易的得到每日的 $\beta(t)$ 與 $\gamma(t)$ ，只需透過 Eq. (7) 移項可得

$$\gamma(t) = \frac{R(t+1) - R(t)}{X(t)}, \quad (10)$$

接著將 Eq. (7) 代入 Eq. (9) 後可得下式

$$\beta(t) = \frac{[X(t+1) - X(t)] + [R(t+1) - R(t)]}{X(t)}. \quad (11)$$

我們可以將給定一段傳染病的歷史資料 $\{X(t), R(t), 0 \leq t \leq T-1\}$ 透過 Eq. (10) 與 (11) 計算對應的 $\{\beta(t), \gamma(t), 0 \leq t \leq T-2\}$ 。有了上述資料，我們便可以使用機器學習來預測未來 $t \geq T-1$ 時的 $\hat{\beta}(t)$ 與 $\hat{\gamma}(t)$ 。

D. Tracking Transmission Rate $\beta(t)$ and Recovering Rate $\gamma(t)$ by Ridge Regression

這個小節我們將利用線性系統中常見的 Finite Impulse Response (FIR) filter 來追蹤與預測 $\beta(t)$ 與 $\gamma(t)$ 隨時間的變化，如下所示， $\hat{\beta}(t)$ 與 $\hat{\gamma}(t)$ 分別為時間 t 時，根據歷史資料所預測的值：

$$\begin{aligned} \hat{\beta}(t) &= a_1\beta(t-1) + a_2\beta(t-2) + \dots + a_J\beta(t-J) + a_0 \\ &= \sum_{j=1}^J a_j\beta(t-j) + a_0, \end{aligned} \quad (12)$$

$$\begin{aligned} \hat{\gamma}(t) &= b_1\gamma(t-1) + b_2\gamma(t-2) + \dots + b_K\gamma(t-K) + b_0 \\ &= \sum_{k=1}^K b_k\gamma(t-k) + b_0. \end{aligned} \quad (13)$$

其中 J 與 K 為濾波器考慮的階數 ($0 < J, K < T-2$)， $a_j, j = 0, 1, \dots, J$ 與 $b_k, k = 0, 1, \dots, K$ 為濾波器的係數。

我們可以透過 ordinary least squares (OLS), regularized least squares (e.g., ridge regression), and partial least squares (PLS) 來得到 FIR filter 的估計 [13]。這裡我們將選用 ridge regression，以下為 ridge regression 最佳化的式子：

$$\min_{a_j} \sum_{t=J}^{T-2} (\beta(t) - \hat{\beta}(t))^2 + \alpha_1 \sum_{j=0}^J a_j^2, \quad (14)$$

$$\min_{b_k} \sum_{t=K}^{T-2} (\gamma(t) - \hat{\gamma}(t))^2 + \alpha_2 \sum_{k=0}^K b_k^2. \quad (15)$$

其中 α_1, α_2 為 regularization parameters。

E. Tracking Number of Infected Persons $\hat{X}(t)$ and Recovered Persons $\hat{R}(t)$ of the Time-dependent SIR Model

統整上述所提的 Time-dependent SIR 模型、FIR filter 與 ridge regression，我們提出了一個追蹤與預測 Time-dependent SIR 模型的方法。給定一段傳染病的歷史資料 $\{X(t), R(t), 0 \leq t \leq T-1\}$ ，我們能透過 Eq. (10), (11) 計算對應的 $\{\beta(t), \gamma(t), 0 \leq t \leq T-2\}$ ，再將 J, K 個時間單位的 $\beta(t)$ 與 $\gamma(t)$ 作為 FIR filter 於 Eq. (12), (13) 的輸入，並以 ridge regression Eq. (14), (15) 解出 (訓練) 最佳的係數。我們能透過訓練完成的 ridge regression 得到時間 $T-1$ 時預測的 $\hat{\beta}(t)$ 與 $\hat{\gamma}(t)$ 接著代入 Eq. (7), (9) 計算時間 T 時的 $\hat{X}(t)$ 與 $\hat{R}(t)$ ：

$$\hat{X}(T) = (1 + \hat{\beta}(T-1) - \hat{\gamma}(T-1))X(T-1), \quad (16)$$

$$\hat{R}(T) = R(T-1) + \hat{\gamma}(T-1)X(T-1). \quad (17)$$

如此反覆運算得到未來的 $\{\hat{\beta}(t), \hat{\gamma}(t), t \geq T\}$ 便可以接續預測未來的 $\hat{X}(t)$ 與 $\hat{R}(t)$ ：

$$\hat{X}(t+1) = (1 + \hat{\beta}(t) - \hat{\gamma}(t))\hat{X}(t), \quad t \geq T, \quad (18)$$

$$\hat{R}(t+1) = \hat{R}(t) + \hat{\gamma}(t)\hat{X}(t), \quad t \geq T. \quad (19)$$

我們將此寫成演算法 1，以更清楚的表達上述方法。

ALGORITHM 1: Tracking Discrete Time Time-dependent SIR Model

Input: $\{X(t), R(t), 0 \leq t \leq T-1\}$, Regularization parameters α_1 and α_2 , Order of FIR filters J and K , Prediction window W .

Output: $\{\beta(t), \gamma(t), 0 \leq t \leq T-2\}$, $\{\hat{\beta}(t), \hat{\gamma}(t), t \geq T-1\}$, and $\{\hat{X}(t), \hat{R}(t), t \geq T\}$.

- 1: Calculate $\{\beta(t), \gamma(t), 0 \leq t \leq T-2\}$ using Eq. (11) and (10) respectively.
 - 2: Train the Ridge regression using Eq. (14) and (15).
 - 3: Estimate $\hat{\beta}(T-1)$ and $\hat{\gamma}(T-1)$ by Eq. (12) and (13) respectively.
 - 4: Initialize the number of infected persons $\hat{X}(T)$ and recovered persons $\hat{R}(T)$ on the next day T using Eq. (16) and (17) respectively.
 - 5: while $T \leq t \leq T+W$ do
 - 6: Estimate $\hat{\beta}(t)$ and $\hat{\gamma}(t)$ in Eq. (12) and (13) respectively.
 - 7: Predict $\hat{X}(t+1)$ and $\hat{R}(t+1)$ using Eq. (18), (19).
 - 8: end while
-

此種 deterministic 傳染病模型皆是基於 Mean-field approximation 的假設下， β 與 γ 才得以以整體平均的傳播率與復原率代表整體的傳播率與復原率，因此若 $X(t)$ 與 $R(t)$ 的人數不夠多時，此種假設便會有失準確性，但在多數的情況仍可有很高的機率為正確的假設。

III. Experimental Results

A. Dataset

我們將針對這次 COVID-19 進行 Time-dependent SIR model 的分析與預測。我們採用 National Health

Commission of the People's Republic of China (以下簡稱 NHC) 每日公布的疫情通報 (Outbreak Notification) [2] 作為實驗用的 Dataset, 如 Figure 1 實線圓點所示。NHC 每天會公布截至前一天 24 時為止的資料, 我們取用 1/15 開始到 2/20 的確診人數、復原人數與死亡人數當作這次實驗的資料集。確診的定義在 2/12 之前為核酸檢測為陽性反應的病例, 值得一提的是, 在 2/12 之後湖北省的確診定義為核酸檢測為陽性反應的病例, 加上臨床診斷病例, 其餘中國省份皆維持與 2/12 前一樣的確診定義。

B. Parameters Setup

由於 Time-dependent SIR model 是基於 SIR model 所衍伸出的模型, 故我們將死亡人數算在 recovered state, 即當天的復原人數需加上死亡人數。將 $\beta(t)$ 與 $\gamma(t)$ FIR filter 的階數都設為 3, 即 $J = K = 3$ 。Time-dependent SIR model 的停止條件設定為感染人數 $X(t) \leq 0$ 為止。除此之外, 我們僅使用 1/27 以後的資料作為 $\beta(t)$ 與 $\gamma(t)$ 的 training data, 因為我們認為在這之前的資料尚未有明顯的趨勢, 可能帶有大量的雜訊。

我們使用 Python 3 的第三方函式庫 scikit-learn [14] 來計算 ridge regression, $\beta(t)$ 與 $\gamma(t)$ 的 regularization parameter 分別設為 0.03 與 10^{-6} , 其中要注意的是 transmission rate $\beta(t)$ 不為負, 故若 $\beta(t) < 0$ 則將其設為 0。之後就可以按照 Eq. (7), (9) 來預測 COVID-19 在時間 T 後的發展。

C. Time Evolution of the Time-dependent SIR Model

根據 Eq. (7), (9), (10), (11), 以及透過 ridge regression 得到的 $\hat{\beta}(t)$ 與 $\hat{\gamma}(t)$ 模擬 COVID-19 未來的變化趨勢, 如 Figure 1 所示, 其中實線圓點為截至 2/20 真實的歷史病例資料, 虛線星號為 Model 預測結果。若中國政府繼續維持對疫情控制的政策 (封城、停班與停課), 則疫情會在 6 週內結束, 累計確診人數約為 80,000 人。

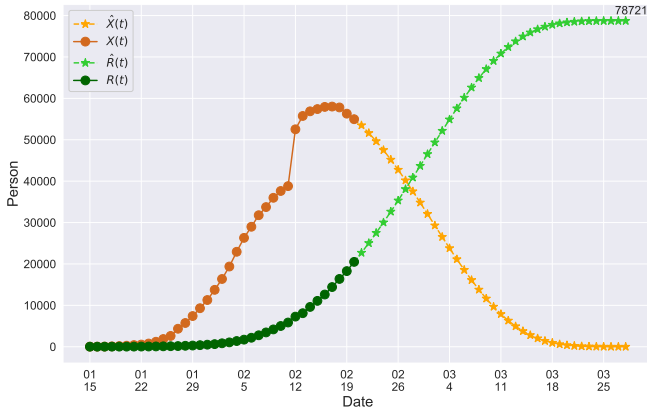


Figure 1: Time evolution of the time-dependent SIR model of the COVID-19. The circle-marked solid line with dark orange (resp. green) color is the real number of infected persons $X(t)$ (resp. recovered persons $R(t)$), the star-marked dashed line with light orange (resp. green) color is the predicted number of infected persons $\hat{X}(t)$ (resp. recovered $\hat{R}(t)$ persons).

Figure 2 為根據真實歷史資料量測出的 $\beta(t)$ 與 $\gamma(t)$, 由圖所示 $\beta(t)$ 有著巨大的降幅, 而 $\gamma(t)$ 緩慢但穩定的增加。不難聯想到中國政府目前的防疫措施主要是透過封城與限制交通來遏止 $\beta(t)$ 的上升, 而醫療方面由於 COVID-19 目前缺乏特效藥, 因此 $\gamma(t)$ 成長的速度相較緩慢。另外得注意的是, 由於 2/12 確診定義的改變, 導致 2/11 與 $\beta(t), \gamma(t)$ 相關的數據沒有參考價值, 故我們以灰色虛線代表之。

在一個傳染病模型中, 我們關心的是疾病是否可以控制, 並且最終結束疫情, 抑或是將會大流行, 並感染一定比例的總人數 n 。其中 Basic reproduciton number R_0 是能夠代表一個傳染病是否會造成大流行的指標, 在 time-dependent SIR model 下 $R_0(t)$ 的定義為 $\beta(t)/\gamma(t)$, 其意義為在 t 時間時, 平均在一個個體康復之前被該個體額外感染的人數。若 $R_0(t) > 1$ 傳染病會以指數方式傳染, 造成大流行, 並將會感染一定比例的總人數 n ; 相反的, 若 $R_0(t) < 1$, 則表示該疾病將會受到控制並且以指數消失。透過觀察 $R_0(t)$ 隨時間的變化能夠檢視防疫措施是否達到控制疫情的效果。因此因此, 欲了解整個疫情的趨勢, 我們必須更進一步了解 Basic reproduciton number $R_0(t)$ 歷史、目前以及未來的趨勢。Figure 3 為 Basic reproduciton number $R_0(t)$ 的歷史資料與預測圖, 在圖中我們能明顯的觀察到 $R_0(t)$ 有極為明顯的下降, 這代表了中國的防疫政策確實有其功效。更重要的是, 2/17 為疫情的拐點, 即 $\hat{R}_0(t) < 1$ 的日子, 代表著中國疫情已經邁入收尾階段, 往後的感染人數 $X(t)$ 便會以指數下降。值得一提的是, 此預測圖 (紫色星號) 是以 2/14 之前的歷史資料當作訓練集, 預測 2/15 至 2/19 的 $\hat{R}_0(t)$ 走勢。我們提前 3 天精準的預測在 2/17 時 $R_0(t)$ 會第一次開始小於 1, 這顯示了我們的 system model 能夠準確的抓住 $\beta(t)$ 與 $\gamma(t)$ 隨時間變化的特徵。

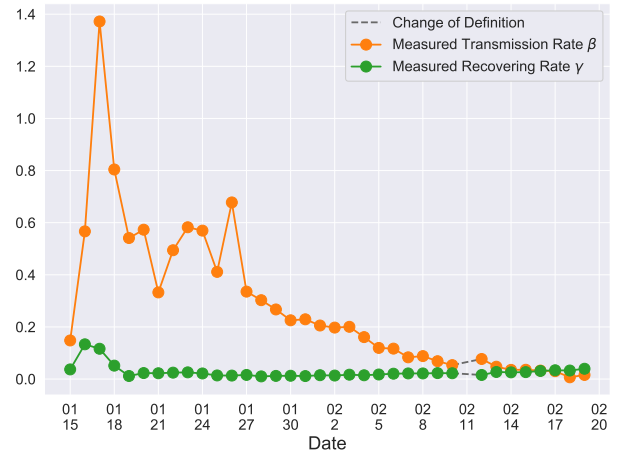


Figure 2: Measured transmission rate $\beta(t)$ and recovering rate $\gamma(t)$ of the COVID-19 from 1/15 to 2/19. $\beta(t)$ and $\gamma(t)$ are measured according to Eq. (11) and (10) respectively.

D. One-day Prediction

為了展示我們預測的精準度, 我們展示了 Time-dependent SIR model 對隔天預測的結果, 如 Figure 4 所示。此圖包含 1/31 之後每個隔天的預估感染人數 $\hat{X}(t)$

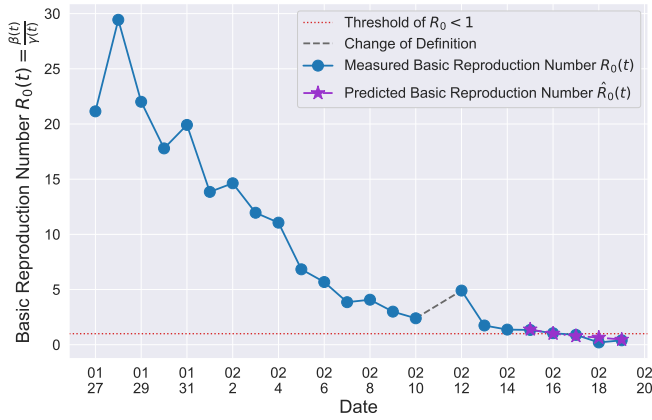


Figure 3: Basic reproduction number $R_0(t)$ of the time-dependent SIR model of the COVID-19. The circle-marked solid line with blue color is the $R_0(t)$ based on the given data from 1/27 to 2/20, the star-marked dashed line with purple color is the predicted $\hat{R}_0(t)$ base on the data from 1/27 to 2/15, and the dashed line with red color is the threshold of $R_0(t), \hat{R}_0(t) < 1$.

(橘色虛線星號)、預估復原人數 $\hat{R}(t)$ (綠色虛線星號)、每個隔天的正確歷史病例 (實線圓點), 以及因為確診定義改變而無法預測的灰色圓點。可以看見預估的曲線緊黏著真實的曲線, 我們標示出未來 2/21 的預估感染人數 $\hat{X}(t) = 53496$, 以及預估復原人數 $\hat{R}(t) = 22702$ 。

藉由 Figure 5 能更進一步檢視我們對過去資料的預測誤差皆在 $\pm 3\%$ 內。灰色標示的線段代表因為確診定義改變而無法預測的點, 然而從 2/16 以後的預測結果來看, 我們的 model 可以克服定義改變的問題, 持續且正確的追蹤 $\beta(t)$ 與 $\gamma(t)$ 隨時間變化的特徵。

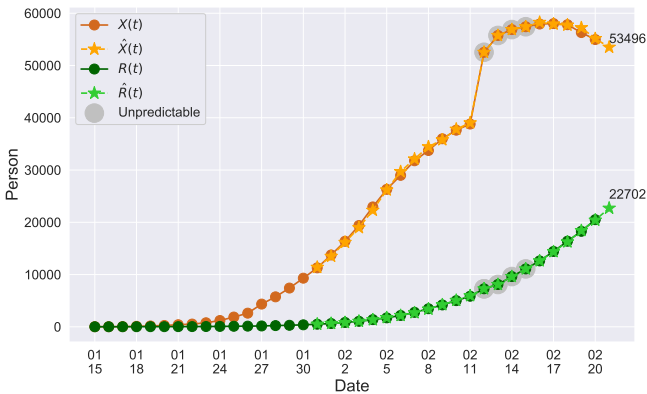


Figure 4: One-day prediction for the number of infected and recovered persons. The unpredictable points due to the change of definition are marked as gray. The circle-marked solid line with dark orange (resp. green) color is the real number of infected persons $X(t)$ (resp. recovered persons $R(t)$), the star-marked dashed line with light orange (resp. green) color is the predicted number of infected persons $\hat{X}(t)$ (resp. recovered persons $\hat{R}(t)$).

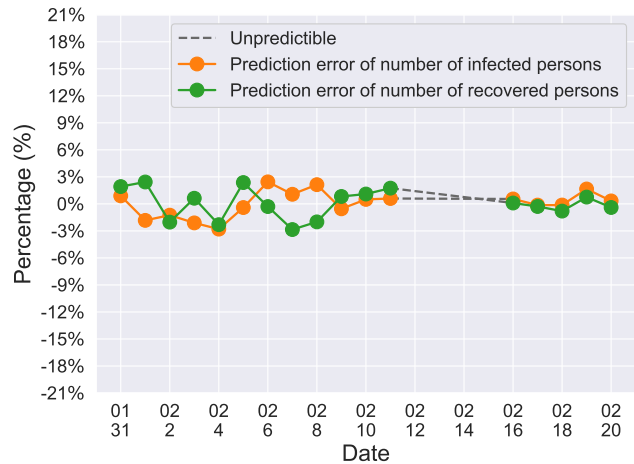


Figure 5: Errors of the one-day prediction of the number of infected and recovered persons. The unpredictable points due to the change of definition are marked as the gray dash line.

E. Historical data analysis

在這個子節裡, 我們希望藉由歷史的病例數據與中國政府的防疫政策看出彼此之間的關聯。

如 Figure 2 所示, 傳染病疫情的發展隨著的時間的推移逐漸受到控制。其中值得注意的是, 扣除 1/21 前病例較少 ($X(t) < 500$) $\beta(t)$ 浮動較大的情況, 在 1/23 到 1/28 這段期間 $\beta(t)$ 逐漸升高後又急速下降, 並在 $\beta(t)$ 在 26 號達到最高峰。巧合的是, $\beta(t)$ 升高後又急速下降的趨勢, 與中國春運期間武漢遷出的趨勢圖 (Figure 6) 有極為類似的趨勢 [15], 其中又以 1/20 到 1/25 這段期間內遷出人口的趨勢和 1/23 到 1/28 期間內 $\beta(t)$ 的趨勢幾乎相同。我們推測較合理的解釋是, 傳染病疫情爆發的消息, 以及中國政府將在 1/23 日武漢封城的公告在武漢傳出後, 人群爭先恐後的離開武漢, 導致眾多感染者湧入大眾運輸系統, 並大幅的提高人群的接觸, 與病毒的傳播, 導致 $\beta(t)$ 大幅上升。又剛好在中國傳染病專家鍾南山博士的研究中 [16], 1099 個有效確診案例分析發現病毒潛伏期的中位數為 3 天, 使得遷出趨勢算上潛伏期後與 $\beta(t)$ 剛好對齊。最後才在封城後逐漸受到控制, 從 2/17 開始 $\beta < \gamma$, 即同前所述的 $R_0(t) < 1$ 。

IV. Conclusion and Future Work

在 COVID-19 疫情正爆發的同時, 我們有別於多篇非時變傳染病模型的文章, 建立了一個 Time-dependent SIR model 的傳染病模型, 並結合了機器學習演算法來模擬與預估 COVID-19 未來的趨勢。由多個實驗顯示, 我們的預測模型能於錯誤率僅有 3% 下精確的在 National Health Commission of the People's Republic of China (NHC) [2] 的數據下預測 COVID-19 的感染人數 $X(t)$ 與復原人數 $R(t)$, 此外追蹤 transmission rate $\beta(t)$ 與 recovering rate $\gamma(t)$ 隨時間變化的特徵, 並準確的預測未來傳染病變化的趨勢、估計累計確診人數與復原人數, 同時從 model 觀察到中國政府封城政策下的成效。我們提前於 2/14 就已經知道中國境內的疫情已控制下來 ($R_0(t) < 1$), 如中國仍繼續保持嚴謹的防疫措施, COVID-19 疫情在我們

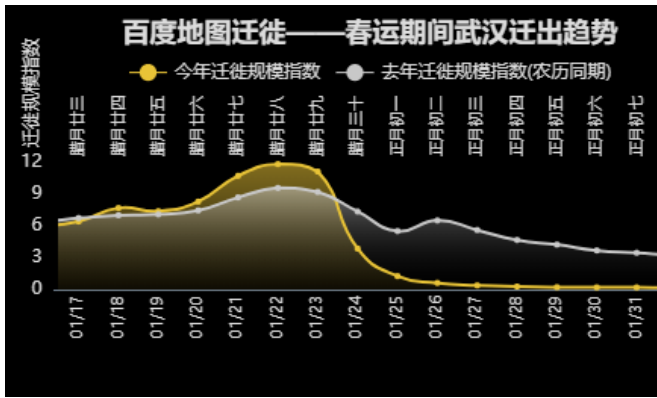


Figure 6: Trends of moving out during the Chunyun (Spring Festival travel season) in Wuhan city. The vertical axis represents the ratio between the number of people leaving the city and the resident population in Wuhan. The white line shows the ratio in 2019, while the yellow line shows the ratio in 2020.

deterministic 的 model 下將有極高的機率在 6 周左右結束，最終感染人數約為 8 萬人。然而，直到我們完成這份研究，除了中國之外的其他國家 COVID-19 疫情才剛進入爆發階段，例如韓國。未來我們會持續改進我們的模型，像是導入 nonhomogeneous Markov chain 建立更複雜的 stochastic model，應用在更多的國家並提出更精準的預測。

References

- [1] “Coronavirus disease (covid-19) outbreak,” Jan 2020. [Online]. Available: <https://www.who.int/emergencies/diseases/novel-coronavirus-2019>
- [2] “Outbreak notification,” Jan 2020. [Online]. Available: http://www.nhc.gov.cn/xcs/yqtb/list_gzbd.shtml
- [3] I. Nesteruk, “Statistics based predictions of coronavirus 2019-ncov spreading in mainland china,” MedRxiv, 2020.
- [4] Y. Chen, J. Cheng, Y. Jiang, and K. Liu, “A time delay dynamical model for outbreak of 2019-ncov and the parameter identification,” arXiv preprint arXiv:2002.00418, 2020.
- [5] L. Peng, W. Yang, D. Zhang, C. Zhuge, and L. Hong, “Epidemic analysis of covid-19 in china by dynamical modeling,” arXiv preprint arXiv:2002.06563, 2020.
- [6] T. Zhou, Q. Liu, Z. Yang, J. Liao, K. Yang, W. Bai, X. Lu, and W. Zhang, “Preliminary prediction of the basic reproduction number of the wuhan novel coronavirus 2019-ncov,” Journal of Evidence-Based Medicine, 2020.
- [7] B. F. Maier and D. Brockmann, “Effective containment explains sub-exponential growth in confirmed cases of recent covid-19 outbreak in mainland china,” arXiv preprint arXiv:2002.07572, 2020.
- [8] S. Zhao, Q. Lin, J. Ran, S. S. Musa, G. Yang, W. Wang, Y. Lou, D. Gao, L. Yang, D. He et al., “Preliminary estimation of the basic reproduction number of novel coronavirus (2019-ncov) in china, from 2019 to 2020: A data-driven analysis in the early phase of the outbreak,” International Journal of Infectious Diseases, 2020.
- [9] T. Zeng, Y. Zhang, Z. Li, X. Liu, and B. Qiu, “Predictions of 2019-ncov transmission ending via comprehensive methods,” arXiv preprint arXiv:2002.04945, 2020.
- [10] Z. Hu, Q. Ge, L. Jin, and M. Xiong, “Artificial intelligence forecasting of covid-19 in china,” arXiv preprint arXiv:2002.07112, 2020.
- [11] M. Newman, Networks: An Introduction. Oxford University Press, 2010.

- [12] A. Y. Ng, A. X. Zheng, and M. I. Jordan, “Stable algorithms for link analysis,” in Proceedings of the 24th annual international ACM SIGIR conference on Research and development in information retrieval, 2001, pp. 258–266.
- [13] B. S. Dayal and J. F. MacGregor, “Identification of finite impulse response models: methods and robustness issues,” Industrial & engineering chemistry research, vol. 35, no. 11, pp. 4078–4090, 1996.
- [14] F. Pedregosa, G. Varoquaux, A. Gramfort, V. Michel, B. Thirion, O. Grisel, M. Blondel, P. Prettenhofer, R. Weiss, V. Dubourg, J. Vanderplas, A. Passos, D. Cournapeau, M. Brucher, M. Perrot, and E. Duchesnay, “Scikit-learn: Machine learning in Python,” Journal of Machine Learning Research, vol. 12, pp. 2825–2830, 2011.
- [15] “新型冠状病毒肺炎疫情实时大数据报告.” [Online]. Available: <https://voice.baidu.com/act/newpneumonia/newpneumonia>
- [16] W.-J. Guan, Z.-Y. Ni, Y. Hu, W.-H. Liang, C.-Q. Ou, J.-X. He, L. Liu, H. Shan, C.-L. Lei, D. S. Hui et al., “Clinical characteristics of 2019 novel coronavirus infection in china,” medRxiv, 2020.